

다이나믹 스케일링을 이용한 과소 작동 불안정 기계 시스템의 제어

서상보*, 심형보*, 서진현*
서울대학교 전기컴퓨터공학부*

Control of Underactuated Unstable Mechanical System Using Dynamic Scaling

Sangbo Seo*, Hyunbo Shim*, Jin Heon Seo*,
ASRI, School of Electrical Engineering and Computer Science, Seoul National University*

Abstract – 이 논문에서는 자유도보다 액츄에이터가 부족한 과소 작동 기계 시스템의 지수적 안정을 보장하는 다이나믹 제어기법을 제시한다. 이 시스템의 원점에 대한 자코비안 선형화는 제어불능이므로 기준의 시불변 상태궤환 기법으로 안정화가 불가능하다는 특징을 가지고 있다. 이 논문에서는 추가 다이나믹스를 이용한 다이나믹 스케일링 기법과 수정된 역진 기법을 사용하여 제어목적을 달성한다.

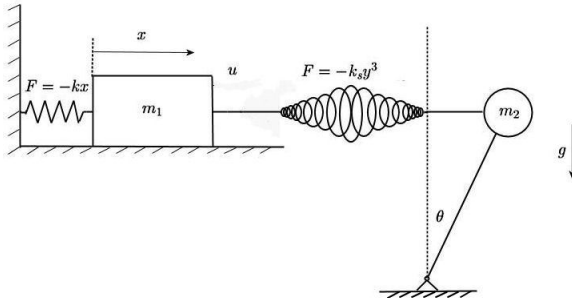
1. 서 론

자유도보다 입력의 수가 적은 과소 작동 기계 시스템은 우주와 해저로봇, 자율 이동 로봇, 유연성 로봇 등에서 그 실례를 찾아볼 수 있다. 본 논문에서는 역진자와 선형 탄성-질량 시스템이 비선형 스프링을 통해 약결합(weak coupling)을 이루고 있는 기계 시스템을 다루고자 한다. 이 시스템 또한 단일 입력에 대해 2개의 자유도를 가지므로 과소 작동 시스템이라고 할 수 있다. 더욱이 이 시스템은 역진자의 평형점에 대한 자코비안 선형화가 제어불가능(uncontrollable)이며, 안정화가능(stabilizable)하지도 않다.

Brockett의 정리[1]에 따르면, 이 시스템은 어떤 static smooth 궤환 입력으로도 안정화 할 수 없으므로, nonsmooth나 시변(time-varying) 제어기의 설계에 의한 안정화가 필요하다. [2]에서는 이 시스템을 안정화하기 위해서 동차(homogeneous) 백터장의 개념을 이용한 nonsmooth 동차 궤환 제어기를, [3]에서는 ‘adding a power integrator’ 기법을 사용하여 연속인 제어기를 설계하였다. 본 논문에서 다른 시스템은 [3]에서 power integrator 시스템의 한 예제로 제시되었는데, 이 시스템에 대해서 [4]에서는 시간함수에 대한 스케일링 기법으로 시변 궤환 제어기를 설계하였다. [3]과 [4]에서 제시된 결과는 domination 방법에 기반한 역진(backstepping) 기법을 사용하므로 최종입력이 커질 수 있는 단점을 가지고 있다. 본 논문에서 제시하는 방법은 [4]의 결과와 유사한 면을 가지고지만 [4]의 결과보다 더 구체적이며 domination 방법과 cancellation 방법을 적절히 조화함으로써 제어 입력을 줄일 수 있는 장점을 지니고 있다.

2. 과소 작동 기계 시스템에 대한 다이나믹 제어기의 설계

2.1 과소 작동 불안정 기계 시스템



<그림 1> 약결합을 가지는 과소 동작 시스템

그림 1과 같은 약결합을 가지는 과소 동작 기계 시스템의 운동 방정식은 다음과 같다.

$$\begin{aligned} \ddot{\theta} &= \frac{g}{l} \sin \theta + \frac{k_s}{m_2 l} (x - l \sin \theta)^3 \cos \theta \\ \ddot{x} &= -\frac{k}{m_1} x - \frac{k_s}{m_1} (x - l \sin \theta)^3 + \frac{u}{m_1} \end{aligned} \quad (1)$$

여기서 x 는 질량의 변위, θ 는 수직선으로부터의 진자의 각도이며, 각 값들이 0일 경우 스프링은 변형이 없는 상태이다. 그리고 $k, k_s > 0$ 는 스

프링 상수이고 제어입력 u 가 m_1 에 작용하지만 m_2 에 직접적으로 작용하는 힘은 없으므로 이 시스템은 과소 동작 시스템임을 알 수 있다.

(1) 식을 $(\theta, \dot{\theta}, x, \dot{x}) \in (-\pi/2, \pi/2) \times R^3$ 에서 정의되는 변환[4]

$$x_1 = \theta, x_2 = \dot{\theta}, x_3 = (x - l \sin \theta)^3 \sqrt{\frac{k_s}{m_2 l}} \cos \theta, x_4 = \dot{x} \quad (2)$$

을 통하면

$$\dot{x}_1 = x_2, \dot{x}_2 = x_3^3 + \frac{g}{l} \sin x_1, \dot{x}_3 = x_4, \dot{x}_4 = v \quad (3)$$

의 식으로 유도가 된다. 이식의 자코비안 선형화는 양의 고유값을 가지므로 제어불능임을 명심하자. 그리고 u 와 v 는 다음의 관계를 가진다.

$$\begin{aligned} u &= \frac{m_1(v + x_2 x_4 \tan x_1)}{\sqrt[3]{k_s \cos x_1 / m_2 l}} + \frac{k x_3}{\sqrt[3]{k_s \cos x_1 / m_2 l}} + k l \sin x_1 \\ &+ \frac{(m_1 \tan x_1)[x_3(x_3^3 + g \sin x_1 / l) + x_2 x_4]}{3 \sqrt[3]{k_s \cos x_1 / m_2 l}} \\ &+ \frac{(m_1 x_2^2 x_3)(1 + \sin^2 x_1 / 3)}{3 \cos^2 x_1 \sqrt[3]{k_s \cos x_1 / m_2 l}} + \frac{x_3^3 m_2 l}{\cos x_1} \\ &+ m_1 l [(x_3^3 + g \sin x_1 / l) \cos x_1 - x_2^2 \sin x_1] \end{aligned} \quad (4)$$

2.2 추가 다이나믹스와 변환

양의 초기값을 가지는 추가 다이나믹스와 변환을

$$z_0 = -k_0 z_0, z_i = x_i / z_0^{a_i}, i = 1, 2, 3, 4 \quad (5)$$

와 같이 정의하면, 시스템 (3)을 다음과 같이 변환 가능하다.

$$\begin{aligned} \dot{z}_1 &= \frac{z_2}{b_1} + a_1 k_0 z_1, \quad \dot{z}_2 = \frac{z_3^3}{b_2} + \frac{g \sin(z_1 z_0^{a_1})}{l z_0^{a_2}} + a_2 k_0 z_2, \\ \dot{z}_3 &= \frac{z_4}{b_3} + a_3 k_0 z_3, \quad \dot{z}_4 = \frac{v}{b_4} + a_4 k_0 z_4 \end{aligned} \quad (6)$$

여기서 $b_1 = a_1 - a_2$, $b_2 = a_2 - 3a_3$, $b_3 = a_3 - a_4$, $b_4 = a_4$ 의 관계를 가진다. 이 변환의 이유는 설계된 제어입력이 z_0 를 분모로 갖지 않고 유한함을 보장하기 위함이다.

2.3 다이나믹 스케일링을 이용한 제어기의 설계

다음은 이 논문의 주요정리이다.

정리 1. 과소 작동 불안정 기계 시스템 (1)에 대해서 변환 (2)와 (5)에 의한 시스템 (6)에서 설계된 매끈한 제어입력 v 는 (6)의 원점을 지수적으로 안정하게 하고, 이는 θ 와 x 가 0으로 지수적으로 수렴함을 보장한다.

정리 1의 증명: 역진 기법은 각 하위 시스템을 안정화하기 위한 가상의 제어를 각 단계에서 설계하고 최종적으로 제어입력을 설계하는 제어기법이다. 하지만 기존의 역진 기법과 달리 (3)의 시스템에서 가상 제어부분인 x_3 의 지수가 3이므로 시불변 궤환 제어입력의 설계가 불가능하게 된다[2,3,4]. 그러므로 이 논문에서는 추가 다이나믹스와 다이나믹 스케일링에 기반을 둔 다이나믹 제어입력을 설계하고자 한다.

단계 1: 이 단계에서는 z_1 하위 시스템에 대하여 가상의 입력을 설계하고자 한다. 리아푸노프 함수 $V_1 = z_1^2 / 2\gamma_1 (\gamma_i, i = 1, 2, 3, 4: 조정 이득값)$ 을 미분하면

$$\dot{V}_1 = \frac{z_1 z_2}{\gamma_1 z_0^{b_1}} + \frac{a_1 k_0 z_1^2}{\gamma_1} \quad (7)$$

가 되고, $b_1 = 0$ 으로 정한 후, 가상의 입력 z_2^* 을 설계할 수 있다.

$$z_2^* = -z_1 (k_1 \gamma_1 + a_1 k_0) =: -z_1 \alpha_1, \bar{z}_2 = z_2 - z_2^* \quad (8)$$

단계 2: z_2 하위 시스템에 대한 가상입력을 설계하기 위하여 이 단계에서는 다이나믹 스케일링 방법을 사용할 것이다. 우선 리아푸노프 함수 $V_2 = \bar{z}_2^2/2\gamma_2$ 의 미분을 하고 $k_2 \bar{z}_2^2$ 의 합차를 더하면

$$\dot{V}_2 = -k_1 z_1^2 + \frac{\bar{z}_1 \bar{z}_2}{\gamma_1} + \frac{\bar{z}_2}{\gamma_2} \left(z_2 - \frac{\partial z_2^*}{\partial z_1} z_1 \right) \pm k_2 \bar{z}_2^2 \quad (9)$$

가 된다. 이 단계에서 설계할 가상입력 \bar{z}_3^* 은 지수 3을 가지고 있으므로 매끈한 함수로 설계할 수가 없다. 그러므로 각 항들에 대해서 아래와 같이 스케일링 방법을 적용한다.

식 (6)과 (8)과 $|x| \leq |x|$, $a_1 = a_2(b_1 = 0)$ 을 이용하면

$$\begin{aligned} & \frac{z_1 \bar{z}_2}{\gamma_1} + \frac{\bar{z}_2}{\gamma_2} \left[\frac{g \sin(z_1 z_0^{a_1})}{l z_0^{a_2}} + a_2 k_0 z_2 - \frac{\partial z_2^*}{\partial z_1} (z_2 + a_1 k_0 z_1) \right] + k_2 \bar{z}_2^2 \\ & \leq z_1 \bar{z}_2 \left(\frac{1}{\gamma_1} - \frac{\alpha_1 (a_2 k_0 + k_1 \gamma_1)}{\gamma_2} \right) + \frac{\bar{z}_2^2}{\gamma_2} (a_2 k_0 + \alpha_1) + \frac{g |z_1 z_0|}{\gamma_2 l} + k_2 \bar{z}_2^2 \end{aligned} \quad (10)$$

가 되고, 영의 부등식 ($|xy| \leq x^a/a + y^b/b$, $1/a + 1/b = 1$)을 이용하여

$$\begin{aligned} & \frac{z_1^2}{8} + \bar{z}_2^2 \sigma_2 \times \frac{2z_0}{2z_0} \leq \frac{z_1^2}{8} + 2z_0^2 + \frac{\bar{z}_2^4}{8z_0^2} \sigma_2^2, \\ & \sigma_2 = \left[4 \left(\frac{1}{\gamma_1} - \frac{\alpha_1 (a_2 k_0 + k_1 \gamma_1)}{\gamma_2} \right)^2 + \frac{(a_2 k_0 + \alpha_1)}{\gamma_2} + 4 \left(\frac{g}{\gamma_2 l} \right)^2 + k_2 \right] \end{aligned} \quad (11)$$

에 도달하게 된다. 우리는 위의 부등식을 ‘다이나믹 스케일링’ 방법으로 부르기로 한다. 이 방법은 추가 상태변수 z_0 가 0에 도달하는 것이 불가능하므로 잘 정의된다고 할 수 있다.

그러므로 $b_2 = 2$ 로 설정한 후 가상입력이

$$z_3^* = -\bar{z}_2 \left(\frac{\sigma_2^2}{8} \right)^{1/3} =: -\bar{z}_2 \alpha_2, \quad \bar{z}_3 = z_3 - z_3^* \quad (12)$$

로 설계되고, 이를 (9)식에 적용하면 아래의 결과가 나온다.

$$\dot{V}_2 \leq - \left(k_1 - \frac{1}{8} \right) z_1^2 - k_2 \bar{z}_2^2 + 2z_0^2 + \frac{z_2 (z_3^3 - z_3^{*3})}{\gamma_2 z_0^{b_2}} \quad (13)$$

단계 3: 이 단계의 리아푸노프 함수 $V_3 = V_2 + \bar{z}_3^2/2\gamma_3$ 에서

$$\dot{V}_3 = \dot{V}_2 + \frac{\bar{z}_3}{\gamma_3} \left(z_3 - \frac{\partial z_3^*}{\partial z_2} z_2 - \frac{\partial z_3^*}{\partial z_1} z_1 \right) \quad (14)$$

가 유도되고, 이전 단계에서의 항은 다음과 같이 변형할 수 있다.

$$\frac{\bar{z}_2 (z_3^3 - z_3^{*3})}{\gamma_2 z_0^{b_2}} = \frac{\bar{z}_3 \bar{z}_2 (z_3^2 + z_3 z_3^* + z_3^{*2})}{\gamma_2 z_0^{b_2}} \quad (15)$$

그리고 다음 단계에서의 편미분 계산의 편리성을 위해서 \sin 항을 다음과 같이 추정할 수 있다.

$$\left| \frac{\bar{z}_3}{\gamma_3} \frac{\partial z_3^*}{\partial z_2} \left(\frac{g \sin(z_1 z_0^{a_1})}{l z_0^{a_2}} \right) \right| \leq \frac{z_1^2}{4} + \frac{\bar{z}_3^2}{\gamma_3^2} \left(\frac{\partial z_3^*}{\partial z_2} \frac{g}{l} \right)^2 \quad (16)$$

식 (15)과 (16), 그리고 (13)의 나머지 항들에 대해서 함수

$$\begin{aligned} \alpha_3 &= \frac{\gamma_3 z_2 (z_3^2 + z_3 z_3^* + z_3^{*2})}{\gamma_2 z_0^{b_2}} + a_3 k_0 z_3 - \frac{\partial z_3^*}{\partial z_2} \left(\frac{z_3^3}{z_0^{b_2}} + a_2 k_0 z_2 \right) \\ &\quad - \frac{\partial z_3^*}{\partial z_1} z_1 + \gamma_3 k_3 z_3 + \frac{\bar{z}_3}{\gamma_3} \left(\frac{\partial z_3^*}{\partial z_2} \frac{g}{l} \right)^2 \end{aligned} \quad (17)$$

와 함께 가상의 함수가

$$z_4^* = -z_0^{b_3} \alpha_3, \quad \bar{z}_4 = z_4 - z_4^* \quad (18)$$

와 같이 설계된다. 위의 단계에서 $b_2 = 2$ 로 결정되었으므로 b_3 은 이 항들을 고려하여 $b_3 = b_2$ 로 결정된다.

단계 4: 이 단계는 전체 구성의 마지막 단계이므로 전체 리아푸노프 함수를 $V = V_3 + \bar{z}_4^2/2\gamma_4 + z_0^2/2\gamma_0$ 로 설정한다. 시스템 (5)와 (6)에 대한 이 함수의 미분은

$$\begin{aligned} \dot{V} &\leq - \left(k_1 - \frac{3}{8} \right) z_1^2 - k_2 \bar{z}_2^2 - k_3 \bar{z}_3^2 - \left(\frac{k_0}{\gamma_0} - 2 \right) z_0^2 + \frac{\bar{z}_3 \bar{z}_4}{\gamma_3 z_0^{b_3}} \\ &\quad + \frac{\bar{z}_4}{\gamma_4} \left(\frac{v}{z_0^{b_4}} + a_4 k_0 z_4 - \sum_{i=0}^3 \frac{\partial z_4^*}{\partial z_i} z_i \right) \end{aligned} \quad (19)$$

이 된다. 그러므로 최종적으로 $b_4 = b_3$ 의 설정으로 제어입력 v 를 아래와 같이 설계할 수 있다.

$$v = -z_0^{b_4} \left(k_4 \gamma_4 + \frac{\gamma_4 \bar{z}_3}{\gamma_3} + a_4 k_0 z_4 - \sum_{i=0}^3 \frac{\partial z_4^*}{\partial z_i} \right) \quad (20)$$

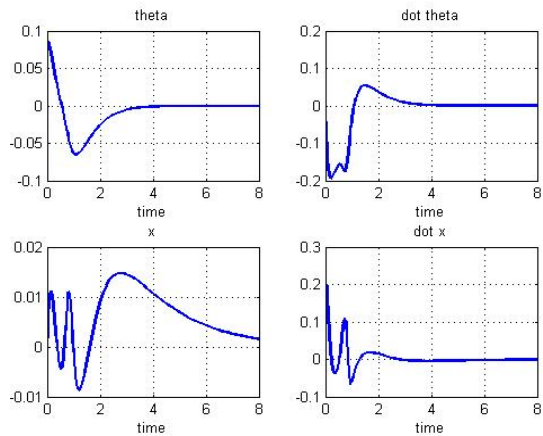
그리고 리아푸노프 함수는

$$\dot{V} \leq - \left(k_1 - \frac{3}{8} \right) z_1^2 - k_2 \bar{z}_2^2 - k_3 \bar{z}_3^2 - k_4 \bar{z}_4^2 - \left(\frac{k_0}{\gamma_0} - 2 \right) z_0^2 \quad (21)$$

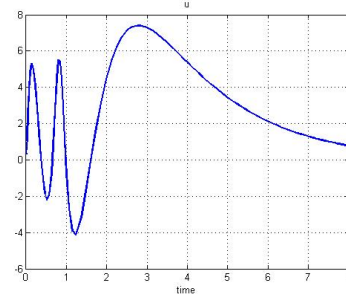
로 정리가 되므로 상수값을 $k_1 > 3/8$, $k_2 > 0$, $k_3 > 0$, $k_4 > 0$, $k_0 > 2\gamma_0$ 로 설정하면 $\dot{V} + kV \leq 0$ 을 만족하여 지수적 안정(exponential stable)임을 알 수 있다. 여기서 γ_0 는 k_0 가 작아질수록 줄일 수 있는 조절값이다. 그러므로 우리는 정리 1을 결론지을 수 있다.

3. 시뮬레이션

시뮬레이션 환경은 $m_1 = 1$, $m_2 = 0.2$, $l = 1$, $k_s = 1000$, $g = 9.8$, $k_0 = 0.1$, $k_i (i=1,2,3,4) = 1$, $\gamma_0 = 1/21$, $\gamma_1 = 2$, $\gamma_2 = 14$, $\gamma_3 = 12$, $\gamma_4 = 1$ 이다. 초기값은 $(\theta(0), \dot{\theta}(0), x(0), \dot{x}(0)) = (5^\circ, 0, 0, 0)$ 이다. 시뮬레이션은 시스템 (6)과 입력 (20)에서 이루어졌으며, 변환 (2)와 (5)에 의해서 역변환되었다. 그 결과는 그림 2과 3과 같으며, 전체적으로 제어목표를 이루고 있음을 알 수 있다.



〈그림 2〉 $\theta, \dot{\theta}, x, \dot{x}$



〈그림 3〉 제어입력 u

4. 결 론

본 논문에서는 기존의 정적 궤환 제어법으로 제어 불가능한 과소 동기 기계 시스템 시스템의 지수적 안정을 보장하는 다이나믹 제어기법이 제시되었다. 이 기법은 추가 다이나믹스의 상태변수를 이용한 다이나믹 스케일링 방법과 cancellation, domination 역진 기법의 조화에 의해서 이루어졌다. 제시된 기법은 이 특정 시스템 뿐만 아니라 다양한 과소 동작 약결합 불안정 기계 시스템에의 적용이 가능하다.

[참 고 문 헌]

- [1] R. W. Brockett, “Asymptotic stability and feedback stabilization”, In R. S. Millman and H. J. Sussman *Differential geometry control theory*, pp. 181–191, 1983.
- [2] C. Rui, M. Reyhanoglu, I. Kolmanovsky, S. Cho, N. H. McClamroch, “Nonsmooth stabilization of an underactuated unstable two degrees of freedom mechanical system”, Proceedings of IEEE Conference on Decision and Control, pp. 3998–4003, 1997.
- [3] C. Qian and W. Lin, “A continuous feedback approach to global strong stabilization of nonlinear systems”, Vol. 46, No. 7, pp. 1061–1079, 2001.
- [4] D. B. Dačić and P. V. Kokotović, “A scaled stabilization of power integrator triangular systems”, Vol. 54, pp. 645–653, 2005.